

## МЕТОДИКА БЫСТРОГО ОПРЕДЕЛЕНИЯ ПОВЕРХНОСТНЫХ ПАРАМЕТРОВ ПЛАНАРНО-НЕОДНОРОДНЫХ МДП СТРУКТУР

© *Е.Н.Бормонтов, С.В.Головин, С.В.Котов, С.В.Лукин*

Воронежский государственный университет,

394693 Воронеж, Россия

(Получена 21 июня 1995 г. Принята к печати 17 июля 1995 г.)

Предложена простая экспериментальная методика определения плотности поверхностных состояний, их сечения захвата с учетом неоднородного распределения поверхностного потенциала в МДП структуре. В отличие от известных методик, основанных на анализе частотных или температурных зависимостей малосигнальной проводимости МДП структур, усредненные значения параметров поверхностных состояний и величина стандартного отклонения флуктуаций поверхностного потенциала рассчитываются по результатам измерения характеристики проводимость–напряжение при фиксированных частоте и температуре.

### 1. Введение

На современном этапе развития электронной промышленности для создания полупроводниковых приборов широко используются процессы окисления, диффузии и ионной имплантации. Неоднородность температурных полей при окислении и постимплантационном отжиге, статистическое распределение по поверхности полупроводника примесей и заряженных центров, а также различные поверхностные загрязнения и дефекты приводят к неоднородному распределению поверхностного заряда в МДП структурах [1,2]. Микронеоднородность поверхностного заряда и связанные с ней флуктуации поверхностного потенциала вызывают ряд нежелательных эффектов — растягивание вольт-фарадных характеристик, сдвиг порогового напряжения, уменьшение подвижности носителей тока в инверсионных каналах и крутизны характеристик МДП транзисторов [3,4]. Таким образом, знание флуктуационных характеристик границы раздела полупроводник–диэлектрик необходимо при разработке новых МДП приборов и интегральных схем. Это особенно важно в связи с уменьшением размеров активных элементов полупроводниковых приборов.

Наиболее корректным методом исследования границы раздела диэлектрик–полупроводник является метод полной проводимости

Никколиана-Гоецбергера [5], который обладает высокой чувствительностью к микронеоднородностям поверхностного потенциала. Однако данный метод требует сканирования по широкому частотному диапазону, что затрудняет его практическое использование. В работе [6] мы предложили метод двухтемпературной полной проводимости, в котором энергетический спектр поверхностных параметров определяется из двух кривых нормированной проводимости, измеренных при фиксированной частоте и различных температурах. В то же время в условиях массового производства полупроводниковых приборов и интегральных микросхем часто бывает нужно быстро определить средние значения поверхностных параметров МДП систем с целью корректировки или оптимизации технологического процесса. Описываемая в настоящей работе методика решает эту задачу с помощью одной кривой нормированной проводимости, полученной при фиксированных частоте и температуре.

## 2. Методика определения флуктуационного параметра

Напомним, что согласно [5] дифференциальная параллельная проводимость, связанная с поверхностными состояниями (ПС),  $G_p$ , находится из измерений эквивалентных параллельных проводимости ( $G$ ) и емкости ( $C$ ) МДП-структуры по формуле

$$G_p = \frac{G(G_d^2 + \omega^2 C_d^2) - G_d(G^2 + \omega^2 C^2)}{(G_d - G)^2 + \omega^2(C_d - C)^2}, \quad (1)$$

где  $G_d, C_d$  — проводимость и емкость диэлектрика,  $\omega$  — циклическая частота переменного сигнала.

Для определения параметров ПС семейство экспериментальных кривых нормированной проводимости  $G_p/\omega$  сопоставляется с теоретическими зависимостями, которые согласно [5] имеют следующий вид:

$$\frac{G_p}{\omega} = \frac{qN_{ss}}{2} \int_{-\infty}^{+\infty} \frac{\ln(1 + \omega^2 \tau^2)}{\omega \tau} P(y_s) dy_s, \quad (2)$$

где  $q$  — заряд электрона,  $N_{ss}$  — дифференциальная плотность ПС,  $\tau$  — постоянная времени релаксации ПС,  $y_s$  — поверхностный потенциал (в единицах  $kT/q$ ),  $P(y_s)$  — функция плотности вероятности для поверхностного потенциала. Предполагается, что флуктуации поверхностного потенциала статистически независимы в разных точках границы раздела диэлектрик-полупроводник и, следовательно,  $P(y_s)$  имеет гауссову форму,

$$P(y_s) = \frac{1}{\sigma\sqrt{2\pi}} \exp \left[ -\frac{(y_s - \bar{y}_s)^2}{2\sigma^2} \right], \quad (3)$$

где  $\bar{y}_s$  — средний поверхностный потенциал,  $\sigma$  — стандартное отклонение флуктуаций поверхностного потенциала  $y_s$ . Характеристическое время релаксации ПС  $\tau$  в случае области обеднения в  $p$ -полупроводнике можно представить в виде [5]

$$\tau = (\sigma \bar{v} p_0)^{-1} \exp y_s, \quad (4)$$

где  $\sigma_p$  — сечение захвата основных носителей (дырок),  $\bar{v}$  — средняя тепловая скорость,  $p_0$  — объемная концентрация дырок.

Из формул (2)–(4) видно, что, во-первых, нормированная проводимость МДП структуры зависит от произведения  $\omega\tau$ , во-вторых, постоянная времени  $\tau$  экспоненциально зависит от поверхностного потенциала  $y_s$ . Таким образом, сканирование по частоте  $\omega$  можно заменить сканированием по поверхностному потенциалу и определить параметры поверхностных состояний МДП структур путем обработки кривой нормированной проводимости, снятой при фиксированных частоте и температуре.

Сложная интегральная форма выражения (2) затрудняет численные расчеты, поэтому в [7] предложено величину нормированной проводимости  $G_p/\omega$  аппроксимировать аналитической функцией

$$\frac{G_p}{\omega} = \frac{\pi q N_{ss}}{\sqrt{2\pi\sigma^2}} \frac{\exp(-aX^2 - b)}{(1 - X)^{\sigma/2} \cos[(\pi X/2)\sqrt{\sigma/2}]}, \quad (5)$$

где  $X = \ln(\omega\bar{\tau})/2\sigma^2$ ,  $\bar{\tau}$  — среднее время релаксации ПС,

$$a = \frac{\sigma}{2} \left( \sigma^2 + \frac{\pi^2}{4} - \frac{1}{\sigma^2 + 3} \right), \quad b = \frac{2}{\sigma^2 + 1.85}.$$

Результаты численных расчетов по формулам (2) и (5) согласуются с высокой точностью при  $\sigma > 1.5$ , поэтому в дальнейшем для вычисления нормированной проводимости  $G_p/\omega$  будет использоваться выражение (5). Как известно, кривые нормированной проводимости имеют колоколообразную форму с максимумом. Положение которого зависит от флуктуационного параметра  $\sigma$ . В [8] предложен графический метод определения  $\sigma$  с помощью фракционного параметра  $f_V = (G_p/\omega)/(G_p/\omega)_{\max}$ , основанный на том, что существуют два значения частоты  $\omega_-$  и  $\omega_+$ , при которых значения нормированной проводимости совпадают и равны  $f_V(G_p/\omega)_{\max}$ . В [7] получено аналитическое выражение, хорошо аппроксимирующее кривые [8] в области  $1.8 < \sigma < 3.5$ , которое имеет следующий вид:

$$\ln \left( \frac{\omega_+}{\omega_-} \right) = \frac{2\sigma^2}{d} \left[ 1 + 4d \left( dX_m^2 - X_m - \frac{2}{\sigma} \ln f_V \right) \right]^{1/2}, \quad (6)$$

где  $d = \sigma^2 + \pi^2/8 - 1/(\sigma^2 + 3) - 1/2$ ,  $X_m$  — значение  $X$  в точке максимума нормированной проводимости. Формула (6) применима для анализа кривых  $G_p/\omega = f(\ln \omega)$ . Покажем, что аналогичную формулу можно использовать для обработки кривых  $G_p/\omega = f(\bar{y}_s)$ .

Предварительно сделаем несколько упрощающих предположений: 1)  $N_{ss}$  является плавной, медленно меняющейся функцией поверхностного изгиба зон; 2)  $\sigma_p$  также медленно изменяется или является константой; 3) параметр флуктуаций поверхностного потенциала  $\sigma$  не зависит от поверхностного потенциала. Как показано экспериментально [5], все эти условия выполняются в области обеднения для системы

кремний- (термически выращенный SiO<sub>2</sub>). В дальнейших вычислениях фигурируют усредненные по энергии в области обедняющих изгибов зон значения поверхностных параметров МЛП структуры  $\sigma$ ,  $\sigma_p$  и  $N_{ss}$ .

Очевидно, что существуют два значения  $X = \ln(\omega\bar{\tau})/2\sigma^2$  (одно — слева от максимума кривой нормированной проводимости, обозначается  $X_-$ , другое — справа,  $X_+$ , при которых  $G_p/\omega = f_V(G_p/\omega)_{\max}$ . Запишем условие равенства нормированных проводимостей в точках  $X_-$  и  $X_+$ , используя соотношение (5)

$$\frac{(1 - X_+)^{\sigma/2} \cos[(\pi X_+/2)\sqrt{\sigma/2}]}{(1 - X_-)^{\sigma/2} \cos[(\pi X_-/2)\sqrt{\sigma/2}]} \exp[a(X_+^2 - X_-^2)] = 1. \quad (7)$$

Здесь  $X_+ = \ln(\omega\tau_+)/2\sigma^2$ ,  $X_- = \ln(\omega\tau_-)/2\sigma^2$ ;  $\tau_+, \tau_-$  — значения средней постоянной времени релаксации ПС, при которых  $G_p/\omega = f_V(G_p/\omega)_{\max}$ ;  $\omega$  — фиксированная частота измерительного сигнала. Далее прологарифмируем (7) и воспользуемся тем обстоятельством, что вблизи максимума нормированной проводимости (при  $f_V > 0.7$ )  $X \ll 1$ . Это значит, что логарифмы можно разложить в ряд, ограничившись членами второго порядка малости:

$$\ln(1 - X) = -X - X^2/2; \quad \ln(\cos Z) = -Z^2/2 \quad \left( Z = \frac{\pi X}{2} \sqrt{\sigma/2} \right). \quad (8)$$

Подставив (8) в прологарифмированное выражение (7) и приведя подобные члены, получим

$$\left( \sigma^2 + \frac{\pi^2}{8} - \frac{1}{\sigma^2 + 3} - \frac{1}{2} \right) (X_+ + X_-) = d(X_+ + X_-) = 1. \quad (9)$$

Далее подставим в (9) выражения для  $X_+$  и  $X_-$  и получим, что  $\ln(\omega^2\tau_+\tau_-) = 2\sigma^2/d$ , т.е.  $\omega = (1/\sqrt{\tau_+\tau_-}) \exp(\sigma^2/d)$ . После подстановки этого соотношения в определения величин  $X_+$  и  $X_-$  получим

$$X_{\pm} = \frac{1}{2d} \pm \frac{\ln(\tau_+/\tau_-)}{4\sigma^2}, \quad (10)$$

что аналогично результату [7]. Единственное различие — вместо частот  $\omega_+$  и  $\omega_-$  фигурируют постоянные времена поверхностных состояний  $\tau_+$  и  $\tau_-$ . Таким образом, мы показали, что в левой части выражения (6)  $\ln(\omega_+/\omega_-)$  можно заменить на  $\ln(\tau_+/\tau_-)$ . Примем во внимание тот факт, что средняя постоянная времени релаксации ПС экспоненциально зависит от среднего поверхностного потенциала. Тогда, предполагая постоянство сечения захвата  $\sigma_p$  вблизи максимума нормированной проводимости, из формулы (4) можно записать

$$\tau_+\tau_- = \exp(y_s^+ - y_s^-), \quad (11)$$

где  $y_s^+, y_s^-$  — значения среднего поверхностного потенциала, при которых  $G_p/\omega = f_V(G_p/\omega)_{\max}$ . Подставляя  $\ln(\tau_+/\tau_-)$  с учетом (11) в левую

часть (6) вместо  $\ln(\omega_+/\omega_-)$  и возвода в квадрат, получаем выражение, связывающее ширину кривой нормированной проводимости со стандартным отклонением поверхностного потенциала:

$$(y_s^+ - y_s^-)^2 = \frac{4\sigma^4}{d^2} \left[ 1 + 4d \left( dX_m^2 - X_m - \frac{2}{\sigma} \ln f_V \right) \right]. \quad (12)$$

С целью дальнейшего упрощения вычислений соотношение (12) можно преобразовать, воспользовавшись тем обстоятельством, что согласно (10) точка  $X = 1/2d$  лежит посередине между  $X_+$  и  $X_-$ . Поскольку кривые нормированной проводимости симметричны относительно своего максимума,  $X_m$  можно принять равным  $1/2d$  и получить

$$(y_s^+ - y_s^-)^2 = -\frac{32\sigma^3 \ln f_V}{\sigma^2 + (\pi^2/8) - 1/(\sigma^2 + 3) - \frac{1}{2}}. \quad (13)$$

Формула (13) дает при наиболее часто встречающихся на практике значениях  $\sigma$ , лежащих в диапазоне от 1.8 до 3.5 [7], погрешность  $3 \div 4\%$  при значениях фракционного параметра  $f_V$ , близких к единице. При определении флуктуационного параметра  $\sigma$  по формуле (13) в численных расчетах рекомендуется использовать  $f_V \geq 0.8$ .

### 3. Алгоритм расчета поверхностных параметров

Для определения физических характеристик поверхностных состояний предлагается следующий алгоритм.

Вначале нужно измерить  $C-V$ - и  $G-V$ -характеристики МДП структуры и рассчитать эквивалентную параллельную проводимость поверхностных состояний  $G_p$  по формуле (1). Затем для каждого напряжения смещения на затворе ( $V$ ) определяется значение среднего поверхностного потенциала  $\bar{y}_s$  из сравнения теоретической и экспериментальной  $C-V$ -характеристик. Так строится кривая нормированной проводимости  $G_p/\omega = f(\bar{y}_s)$ .

Затем для выбранного значения фракционного параметра  $f_V$  по экспериментальной кривой нормированной проводимости определяются поверхностные потенциалы  $y_s^+$  и  $y_s^-$  и подставляются в уравнение (13), которое численно решается относительно  $\sigma$ . После нахождения стандартного отклонения  $\sigma$  вычисляется усредненное значение постоянной времени релаксации ПС в точке максимума нормированной проводимости:

$$\bar{\tau}_m = \frac{\exp(2\sigma^2 X_m)}{\omega} = \frac{\exp(\sigma^2/d)}{\omega}. \quad (14)$$

Затем, воспользовавшись формулой (4), находим сечение захвата основных носителей (дырок) на поверхностные состояния,

$$\sigma_p = (\bar{\tau}_m \bar{v} p_0)^{-1} \exp y_{sm}, \quad (15)$$

где  $y_{sm}$  — значение среднего поверхностного потенциала в точке максимума нормированной проводимости. Средняя энергетическая плотность ПС, лежащих между уровнем Ферми и серединой запрещенной

оны полупроводника, находится из аналитического выражения (5). Подставив в него экспериментальное значение  $(G_p/\omega)_{\max}$  и найденные значения  $\sigma$  и  $X_m = 1/2d$ , находим среднюю дифференциальную плотность поверхностных состояний  $N_{ss}$  по формуле

$$N_{ss} = \frac{(G_{ip}/\omega)_{\max} 2\sqrt{2\pi\sigma^2(1-X_m)^{\sigma/2} \cos[(\pi X_m/2)\sqrt{\sigma/2}]}{\pi q \exp(-aX_m^2 - b)}. \quad (16)$$

В результате вычислений по формулам (13)–(16) получаются средние значения плотности и сечения захвата поверхностных состояний, постоянной времени в точке максимума нормированной проводимости и параметра флуктуаций поверхностного потенциала при фиксированной частоте измерительного сигнала  $\omega$ . Использование фиксированной частоты — основное преимущество предлагаемого экспресс-метода исследования поверхностных состояний, позволяющее для его аппаратной реализации использовать высокоточные цифровые измерители импеданса.

#### 4. Результаты и обсуждение

Для подтверждения обоснованности предлагаемой экспресс-методики получения и обработки кривой нормированной проводимости были проведены соответствующие численные расчеты, представленные на рисунках. На рис. 1 показаны спектральные зависимости поверхностных параметров ( $\sigma$ ,  $\sigma_p$  и  $N_{ss}$ ) МДП структуры, измеренные двухчастотным методом [7], и их средние значения, рассчитанные по формулам (13)–(16). Из сопоставления результатов расчета по новой методике с данными, полученными двухчастотным методом [7], видно,

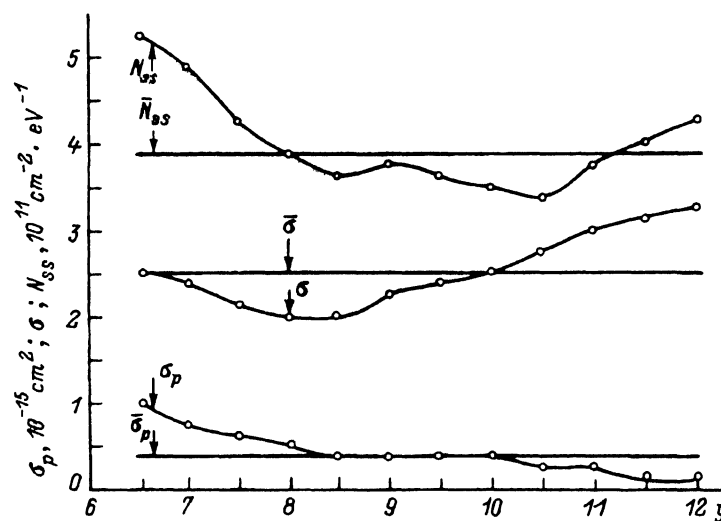
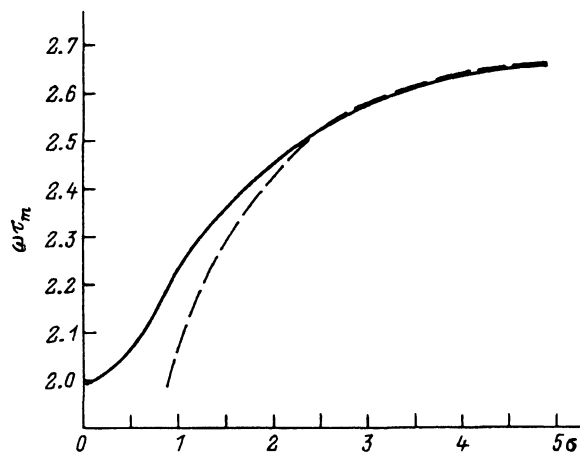
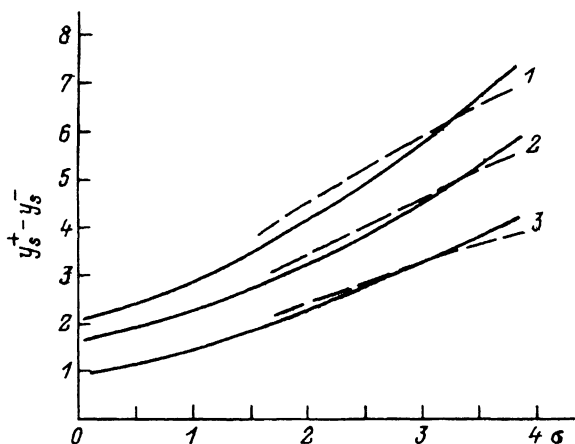


Рис. 1. Спектральные зависимости поверхностных параметров системы Si-SiO<sub>2</sub>  $\sigma$ ,  $\sigma_p$ ,  $N_{ss}$ , рассчитанные двухчастотным методом [7], и их средние значения  $\bar{\sigma}$ ,  $\bar{\sigma}_p$ ,  $\bar{N}_{ss}$ . Параметры МДП структуры: концентрация акцепторной примеси  $N_A = 2.68 \cdot 10^{16} \text{ см}^{-3}$ , площадь электрода  $A = 1.18 \text{ мм}^2$ . Значения  $\sigma$  отложены в единицах  $kT/q$ .

**Рис. 2.** Сравнение точных численных результатов вычисления ширины кривой нормированной проводимости в зависимости от параметра  $\alpha$  флуктуации поверхностного потенциала (сплошные линии) и результатов, полученных по формуле (13) (штриховые) при различных значениях фракционного параметра  $f_V$ : 1 — 0.7, 2 — 0.8, 3 — 0.9. Значения  $\sigma$  отложены в единицах  $kT/q$ .



**Рис. 3.** Сравнение точных численных расчетов зависимости положения максимума кривой нормированной проводимости от флуктуационного параметра  $\alpha$  с аналогичной зависимостью (14). Сплошная кривая соответствует точному численному результату, штриховая — соотношению (14). Значения  $\sigma$  отложены в единицах  $kT/q$ .

что они хорошо согласуются. На рис. 2 показана зависимость ширины кривой нормированной проводимости, рассчитанной по формуле (13), от стандартного отклонения флуктуаций поверхностного потенциала  $\sigma$  при различных значениях фракционного параметра  $f_V$ . Рядом для сравнения приведены кривые, рассчитанные численно с использованием точного интегрального выражения (2). Видно, что при  $1.8 < \sigma < 3.5$  и  $f_V \geq 0.8$  различие результатов не превосходит 4%. На рис. 3 показана зависимость положения максимума кривой нормированной проводимости  $\omega \tau_m$  от параметра  $\sigma$ , рассчитанная по формуле (14). При  $\sigma \geq 2$  она практически совпадает с точным численным результатом.

## 5. Заключение

В нашей работе получено аналитическое соотношение, связывающее ширину кривой нормированной проводимости МДП структуры  $G_p/\omega = f(\bar{y}_s)$  с дисперсией распределения поверхностного потенциала, что позволило выработать простой алгоритм определения средних по энергии значений плотности поверхностных состояний и их сечения захвата для структур с неоднородно распределенным поверхностным зарядом. Таким образом, усредненные значения поверхност-

ных параметров и величина стандартного отклонения поверхностного потенциала могут быть получены путем обработки лишь одной  $G-V$ -характеристики, измеренной на фиксированной частоте. Для нахождения энергетического спектра поверхностных состояний необходима обработка двух кривых нормированной проводимости, снятых при различных частотах [7] или температурах [8].

Факс: (0732)56-65-51

E-mail: ppe@phys.vucnit.voronezh.su

#### Список литературы

- [1] В.Г. Литовченко, А.П. Горбань. *Основы физики микроэлектронных систем металл-диэлектрик-полупроводник* (Киев, Наук. думка, 1978).
- [2] В.В. Батавин, Ю.А. Концевой, Ю.В. Федорович. *Измерение параметров полупроводниковых материалов и структур* (М., Радио и связь, 1985).
- [3] P. Muls, G. Declerck, R. Overstraeten. *Sol. St. Electron.*, **20**, 911 (1977).
- [4] М.А. Байрамов, А.С. Веденеев, А.Г. Ждан. *ФТП*, **23**, 2122 (1989).
- [5] E.H. Nicollian, A. Goetzberger. *Bell Syst. Techn. J.*, **46**, 1055 (1967).
- [6] Е.Н. Бормонтов, С.В. Котов, С.В. Лукин, С.В. Головин. *ФТП*, **29**, 646 (1995).
- [7] R.D.S. Yadava. *Sol. St. Electron.*, **33**, 127 (1990).
- [8] J.R. Brews. *Sol. St. Electron.*, **26**, 711 (1983).

Редактор Л.В. Шаронова

#### A method for rapid determination of interface state parameters in planar-nonuniformed MIS structures

*E.N. Bormontov, S.V. Golovin, S.V. Kotov, S.V. Lukin*

Voronezh State University, 394693 Voronezh, Russia

In this paper a new technique for obtaining the density  $N_{ss}$  of interface states, their capture cross section  $\sigma_p$ , time constant  $\tau$  and standard deviation  $\sigma$  of interface potential fluctuation is proposed. In contrast to of well-known methods new method uses  $G_p/\omega$  vs bias curves measured at fixed frequency  $\omega$ . The equations for calculating the mean values of  $\sigma$ ,  $\tau$ ,  $\sigma_p$  and  $N_{ss}$  from  $G_p/\omega$  vs bias curve measured at the fixed frequency and temperature are obtained using the Yadava's analytical expression for  $G_p/\omega$ .